

Последний член этого выражения представляет собой абсолютную ошибку измерения

$$\Delta T = (T_{э_1} - T_x) \Gamma^2. \quad (8)$$

Выбирая температуру первого эталона $T_{э_1}$, близкую к температуре человека, эту ошибку можно сделать, как и в работе [1], очень малой. Обычная контактная антенна имеет КСВН с телом человека около 2,0—2,2. Этому соответствует коэффициент отражения $\Gamma^2 = 0,1 \div 0,15$. Если выбрать температуру первого эталона 35°C (308 К), что близко к температуре радионизлучения человека, то ошибка измерения не превысит $\pm 0,1 - 0,15\text{К}$.

В заключение автор приносит благодарность В. С. Троицкому за просмотр рукописи и ценные указания.

ЛИТЕРАТУРА

1 Троицкий В С — Изв. вузов — Радиофизика, 1981, 24, № 9, с. 1054.

Научно-исследовательский радиофизический институт

Поступила в редакцию
4 января 1984 г.

УДК 681.511:621.317.76.089.68

АНАЛИЗ ДВУХКОНТУРНОЙ СИСТЕМЫ ЧАСТОТНОЙ АВТОПОДСТРОЙКИ В КВАНТОВОМ СТАНДАРТЕ ЧАСТОТЫ

С. А. Козлов, В. А. Логачев, В. В. Мартынов

Работа [1] посвящена анализу дискриминационных характеристик двухконтурной системы АПЧ в пассивном квантовом стандарте частоты (КСЧ). В настоящей работе, являющейся продолжением [1], проводится теоретический анализ устойчивости двухконтурной системы АПЧ в КСЧ, переходных процессов, определяются статические и динамические погрешности.

При анализе будем предполагать, что инерционность всех элементов схемы мала по сравнению с инерционностью интегрирующих усилителей.

Для расстройк кварцевого генератора относительно частоты атомного перехода и резонатора (относительно частоты кварцевого генератора) можно написать

$$\Delta\omega_{\text{кв}}(t) = \Delta\omega_{\text{н.кв}} - S_{\text{кв}} U_{y1}(t); \quad (1)$$

$$\Delta\omega_{\text{р}}(t) = \Delta\omega_{\text{н.р}} - S_{\text{р}} U_{y2}(t), \quad (2)$$

где $\Delta\omega_{\text{н.кв}}$, $\Delta\omega_{\text{н.р}}$ — начальные расстройки кварцевого генератора и резонатора, U_{y1} , U_{y2} — напряжения на выходах интегрирующих усилителей, $S_{\text{кв}}$, $S_{\text{р}}$ — крутизна управления частотой кварцевого генератора и резонатора.

Для напряжений на выходах интегрирующих усилителей имеем

$$(k_i + 1) T_i' \frac{dU_{yi}(t)}{dt} + U_{yi}(t) = k_i U_{di}(t), \quad i = 1, 2, \quad (3)$$

где k_i — коэффициент усиления интегрирующего усилителя по постоянному току, T_i' — постоянная времени RC-цепочки в интегрирующем усилителе, U_{di} — напряжения на выходах синхронных детекторов.

Для напряжений на выходах синхронных детекторов U_{di} в случае малых расстроек $\Delta\omega_{\text{кв}}(t)$ и $\Delta\omega_{\text{р}}(t)$ можно написать следующие уравнения:

$$U_{d1}(t) = S_{11} N \Delta\omega_{\text{кв}}(t - T_{31}) + S_{12} \Delta\omega_{\text{р}}(t - T_{31}), \quad (4)$$

$$U_{d2}(t) = S_{21} N \Delta\omega_{\text{кв}}(t - T_{32}) + S_{22} \Delta\omega_{\text{р}}(t - T_{32}),$$

где T_{3i} — времена запаздывания в трактах прохождения сигнала, N — коэффициент умножения частоты кварцевого генератора, S_{11} , S_{22} — крутизны дискриминатора по расстройке кварцевого генератора и резонатора соответственно, S_{12} , S_{21} — взаимные крутизны дискриминатора, отражающие связь между расстройками кварцевого генератора и резонатора.

На основании уравнений (1)–(4) эквивалентную структурную схему анализируемой системы АПЧ можно представить в виде, показанном на рис. 1. На нем

пунктиром приведена эквивалентная структурная схема дискриминатора, включающая в себя квантовый дискриминатор 2, приемник СВЧ (элементы 7, 10, 14 на структурной схеме рис. 1 работы [1]), селективные усилители 11, 15, синхронные детекторы 12, 16. Решая совместно уравнения (1)–(4), получаем систему двух дифференциальных уравнений, описывающую процессы в КЧЧ,

$$T_1 \frac{dx(t)}{dt} + \beta_1 x(t - T_{31}) + x(t) + \frac{\beta_1 S_{12}}{S_{11}N} y(t - T_{31}) = x_n(t) + T_1 \frac{dx_n(t)}{dt}, \quad (5)$$

$$T_2 \frac{dy(t)}{dt} + \beta_2 y(t - T_{32}) + y(t) + \frac{\beta_2 S_{21}N}{S_{22}} x(t - T_{32}) = y_n(t) + T_2 \frac{dy_n(t)}{dt},$$

где введены следующие обозначения $(k_i + 1)T_i = T_i$, $i=1,2$, $\Delta\omega_{кв}(t) = x(t)$, $\Delta\omega_p(t) = y(t)$, $\Delta\omega_{н.кв} = x_n$, $\Delta\omega_{н.р} = y_n$, $\beta_1 = S_{14}S_{кв}Nk_1$ — коэффициент регулирования системы по кольцу АПЧ кварцевого генератора, $\beta_2 = S_{22}S_p k_2$ — коэффициент регулирования системы по кольцу АПЧ резонатора

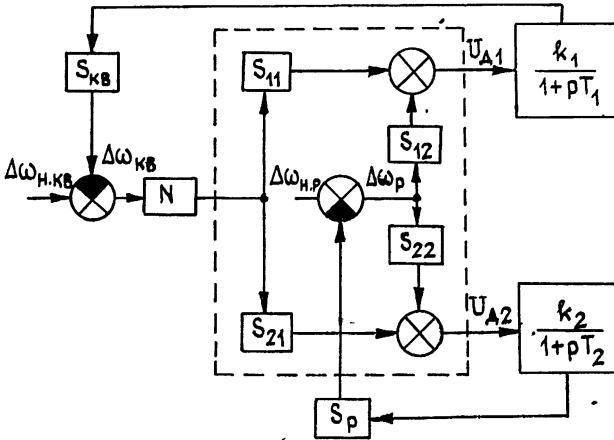


Рис. 1.

Найдем условия устойчивости системы (5). Предполагая, что времена запаздывания T_{31} , T_{32} существенно меньше постоянной времени системы АПЧ, разложим функции $x(t - T_{3i})$, $y(t - T_{3i})$ в ряд и ограничимся первыми двумя членами ряда. Тогда система уравнений (5) принимает следующий вид:

$$(T_1 - \beta_1 T_{31}) \dot{x} + (1 + \beta_1) x - \frac{S_{12}\beta_1}{S_{11}N} (T_{31} \dot{y} - y) = x_n + T_1 \dot{x}_n, \quad (6)$$

$$(T_2 - \beta_2 T_{32}) \dot{y} + (1 + \beta_2) y - \frac{S_{21}N\beta_2}{S_{22}} (T_{32} \dot{x} - x) = y_n + T_2 \dot{y}_n.$$

Применяя метод Раута—Гурвица к исследованию данной системы на устойчивость, получим следующие условия устойчивости.

$$(T_1 - \beta_1 T_{31})(T_2 - \beta_2 T_{32}) - S\beta_1\beta_2 T_{31} T_{32} > 0; \quad (7a)$$

$$(1 + \beta_2)(T_1 - \beta_1 T_{31}) + (1 + \beta_1)(T_2 - \beta_2 T_{32}) + S\beta_1\beta_2(T_{31} + T_{32}) > 0, \quad (7b)$$

$$(1 + \beta_1)(1 + \beta_2) - S\beta_1\beta_2 > 0, \quad (7в)$$

где $S = S_{12}S_{21}/S_{11}S_{22}$ имеет смысл коэффициента связи между двумя кольцами АПЧ. Эти неравенства можно свести к следующему условию для параметра S (здесь и далее для упрощения выражений будем полагать $\beta_1, \beta_2 \gg 1$):

$$-(\beta_1 T_2 + \beta_2 T_1)/\beta_1\beta_2 (T_{31} + T_{32}) < S < 1. \quad (8)$$

Для того чтобы в устойчивой двухконтурной системе при отключении одного из колец АПЧ второе кольцо оставалось устойчивым, необходимо условие (8) дополнить условиями устойчивости каждого из колец при отсутствии связи между ними ($S=0$) [2].

$$\beta_1 < \pi T_1/2T_{31}, \quad \beta_2 < \pi T_2/2T_{32}.$$

Определим погрешности системы АПЧ. Положив все производные в системе (6) равными нулю, можно получить выражения для статических погрешностей

$$x_{ст} = \frac{x_n}{\beta_1(1-S)} - \frac{S_{12}}{S_{11}N} \frac{y_n}{\beta_2(1-S)}, \quad y_{ст} = \frac{y_1}{\beta_2(1-S)} - \frac{S_{21}N}{S_{22}} \frac{x_n}{\beta_1(1-S)}. \quad (9)$$

Если кроме постоянных начальных расстроек частоты кварцевого генератора и резонатора имеется систематический ход со скоростями a_1 и a_2 соответственно, то, кроме статической погрешности, выражаемой формулами (9), появляется динамическая погрешность, которая для кварцевого генератора будет равна

$$x_{дин} = \frac{a_1 t}{\beta_1(1-S)} - \frac{S_{12}}{NS_{11}} \frac{a_2 t}{\beta_2(1-S)} + \frac{a_1 T_1}{\beta_1(1-S)} - \frac{a_2 T_2}{\beta_2(1-S)}. \quad (10)$$

Выражения (9), (10) для погрешностей отличаются от аналогичных выражений для стандарта частоты с независимыми кольцами АПЧ множителем $1/(1-S)$. Числовые оценки достижимой точности стабилизации частоты дают, при $T_1=10^4$ с, $T_{31}=0,1$ с коэффициент β_1 можно взять, согласно (8), равным 10^5 , тогда при $x_n/\omega_{кв}=10^{-9}$, $a_1/\omega_{кв}=10^{-9}$ Г/сут, $S=+0,5$, $y_n=0$ получим $x_{ст}/\omega_{кв}=2,0 \cdot 10^{-14}$, $x_{дин}/\omega_{кв}=2,0 \cdot 10^{-14}$ 1/сут (при $t \gg T_1$).

Рассмотрим переходные процессы в КСЧ. Анализ проведем при тех же, что и ранее, предположениях о малости времен задержек, при которых была получена система уравнений (6). Решение этой системы дает следующее выражение для x :

$$x = C_1 e^{\alpha_1 t} + C_2 e^{\alpha_2 t} + x_{ст}, \quad (11)$$

где $x_{ст}$ — значение x при $t \rightarrow \infty$, C_1, C_2 определяются начальными условиями, а коэффициенты α_1, α_2 , являющиеся корнями характеристического уравнения, равны

$$\alpha_{1,2} = - \left(\frac{\beta_1}{2T_1} + \frac{\beta_2}{2T_2} + S\beta_1\beta_2 \frac{T_{31} + T_{32}}{2T_1T_2} \right) \pm \left\{ \left[\frac{\beta_1}{2T_1} + \frac{\beta_2}{2T_2} + \frac{S\beta_1\beta_2(T_{31} + T_{32})}{2T_1T_2} \right]^2 - \frac{\beta_1\beta_2(1-S)}{T_1T_2} \right\}^{1/2}. \quad (12)$$

Можно убедиться, что при выполнении условия (8) корни характеристического уравнения действительны и отрицательны, т. е. в системе осуществляется затухающий апериодический процесс

ЛИТЕРАТУРА

- 1 Козлов С. А., Логачев В. А. — Изв. вузов — Радиофизика, 1984, 27, № 8, с 978.
- 2 Капланов М. Р., Левин В. А. Автоматическая подстройка частоты — М—Л: Госэнергониздат, 1962, с 144.

Поступила в редакцию
20 июня 1983 г.,
после доработки
29 февраля 1984 г

УДК 539.28

ИЗБЫТОЧНЫЙ НИЗКОЧАСТОТНЫЙ ШУМ КОНДЕНСАТОРНЫХ СИСТЕМ

Ю. С. Капшин, В. А. Носкин, Б. И. Якубович

Фликкерный или избыточный шум (спектр которого имеет вид $\sim 1/F^\alpha$, где F — частота, α — константа) наблюдается в чрезвычайно широком классе явлений природы. Однако до сих пор не удается выяснить его физическое происхождение. Созданы многочисленные модели, в рамках которых дается описание механизма возникновения фликкерного шума: он вызывается флуктуациями числа посетителей заряда [1, 2], флуктуациями температуры [3, 4], нестационарностью в токопроводящей системе [5] и т. д. Не вдаваясь в критику того или иного механизма, лишь укажем, что дальнейшее изучение этого вопроса остается актуальным. Интерес к таким исследованиям дополнительно стимулируется еще и гипотезой о возможности прогнозирования долговечности электронных приборов по свойствам избыточного шума. В данной работе рассмотрены возможности прогнозирования работоспособности конденсаторных си-